

(HUANJING KEXUE)

### ENVIRONMENTAL SCIENCE

第39卷 第5期

Vol.39 No.5

2018

\_\_\_\_ 中国科学院生态环境研究中心 主办

斜学出版社出版



### ENVIRONMENTAL SCIENCE

第 39 卷 第 5 期 2018年5月15日

#### 次 Ħ

# 夏季太湖草/藻型湖区 $N_2O$ 生成与迁移特征及其影响因素

郑小兰<sup>1,2</sup>, 文帅龙<sup>1,2</sup>, 李鑫<sup>1,3</sup>, 龚琬晴<sup>1,2</sup>, 刘德鸿<sup>1,4</sup>, 钟继承<sup>1\*</sup>

(1. 中国科学院大学, 北京 100049; 2. 中国科学院南京地理与湖泊研究所湖泊与环境国家重点实验室, 南京 210008; 3. 苏州科技大学环境科学与工程学院, 苏州 215000; 4. 南京师范大学地理科学学院, 南京 210023)

摘要:多生态类型湖泊 $N_2$  O生成与排放的空间异质性给准确地估算湖泊 $N_2$  O通量及评估湖泊 $N_2$  O排放的重要性带来了很大的不确定性,有关多生态类型湖泊 $N_2$  O生成与排放特征及内在机制的研究相对较少。本研究对夏季太湖典型草/藻型湖区水-气界面 $N_2$  O通量、水体溶存浓度以及水-土界面 $N_2$  O通量进行了原位观测及室内分析,并针对影响 $N_2$  O生成与排放的主要环境因子进行了室内微环境实验。结果表明,夏季水-气界面 $N_2$  O通量、水体溶存 $N_2$  O浓度及水-土界面 $N_2$  O通量大致上呈现为挺水植物湖区 > 藻型湖区 > 沉水植物湖区,水-气界面通量分别为(115.807 ± 7.583)、(79.768 ± 1.842)和(3.685 ± 0.295) $\mu$ mol·( $\mu^2$ ·h) $\mu$ +,水体溶存 $\mu$ - O浓度分别为:(0.051 ± 0)、(0.029 ± 0.001)和(0.018 ± 0)  $\mu$ mol· $\mu$ - 化一,水-土界面通量分别为:(178.275 ± 3.666)、(160.685 ± 0.642)和(75.665 ± 1.016)  $\mu$ mol·( $\mu^2$ ·h) $\mu$ - 空间差异原因可归结为生长的植物以及水体中无机氮浓度的差异。水-土界面微环境实验结果表明,外加硝酸盐及有机碳源可以显著增加沉积物 $\mu$ - O生成潜力,而上覆水中高浓度 $\mu$ - N会抑制沉积物 $\mu$ - O生成,随温度升高,沉积物 $\mu$ - O生成速率显著增加,这表明夏季水-土界面 $\mu$ - O的生成与排放主要受硝酸盐及有机碳的限制,同时也受温度的影响。

关键词:水生植物;水-气界面;水-土界面;N,O通量;影响因素;太湖

中图分类号: X16 文献标识码: A 文章编号: 0250-3301(2018)05-2306-10 DOI: 10.13227/j. hjkx. 201709212

## Characteristics of $N_2O$ Release and Influencing Factors in Grass-type and Algae-type Zones of Taihu Lake During Summer

ZHENG Xiao-lan<sup>1,2</sup>, WEN Shuai-long<sup>1,2</sup>, LI Xin<sup>1,3</sup>, GONG Wan-qing<sup>1,2</sup>, LIU De-hong<sup>1,4</sup>, ZHONG Ji-cheng<sup>1,\*</sup> (1. University of Chinese Academy of Sciences, Beijing 100049, China; 2. State Key Laboratory of Lake Science and Environment, Nanjing Institute of Geography and Lakes, Chinese Academy of Sciences, Nanjing 210008, China; 3. College of Environmental Science and Engineering, Suzhou University of Science and Technology, Suzhou 215000, China; 4. School of Geography Science, Nanjing Normal University, Nanjing 210023, China)

Abstract: Spatial heterogeneity of  $N_2O$  generation and emissions in multi-ecotype lakes limited the accurate estimation of the  $N_2O$  fluxes in lakes, but few studies on the characteristics of  $N_2O$  generation and emissions have been conducted. In this study,  $N_2O$  flux at the water-gas interface, dissolved  $N_2O$  concentration in the water column, and  $N_2O$  flux at the sediment-water interface in typical grass-type and algal-type zones of Taihu Lake were analyzed during summer, and indoor micro-environment experiments were conducted to illustrate the main factors affecting the generation and emissions of  $N_2O$ . The results showed that the  $N_2O$  fluxes at the water-gas interface, dissolved  $N_2O$  concentration, and  $N_2O$  fluxes at the sediment-water interface of the emergent macrophyte type area was higher than the algae-type area and submerged macrophyte area during the summer. , with  $N_2O$  fluxes at the water-gas interface of (115. 807 ± 7.583), (79. 768 ± 1.842), and (3.685 ± 0.295)  $\mu$ mol·( $m^2$ ·h)<sup>-1</sup>, respectively. The dissolved  $N_2O$  concentration in the water column were (0.051 ± 0), (0.029 ± 0.001), and (0.018 ± 0)  $\mu$ mol· $L^{-1}$ , respectively; and the  $N_2O$  fluxes at the sediment-water interface were (178. 275 ± 3.666), (160.685 ± 0.642), and (75.665 ± 1.016)  $\mu$ mol·( $m^2$ ·h)<sup>-1</sup>, respectively. The spatial difference could be attributed to dominant plants and the concentration of inorganic nitrogen in the water column. The results of micro-environment experiments showed that nitrate and organic carbon sources could significantly increase the  $N_2O$  production potential of sediments, the high concentration of  $NH_4^+$ -N in the water column might inhibit the  $N_2O$  production in sediments, and the production rates of  $N_2O$  in the sediment increased remarkably when the incubation temperature increased, suggesting that the generation and emissions of  $N_2O$  were mainly restricted by nitrate, organic carbon, and temperature in summer.

Key words: aquatic plants; water-gas interface; sediment-water interface; N2 O flux; influencing factors; Taihu Lake

收稿日期: 2017-09-24; 修订日期: 2017-11-11

基金项目: 国家自然科学基金项目(41371457, 41771516); 中国科学院重点部署项目(KZZD-EW-10-02-1); 国家水体污染控制与治理科技重 大专项(2013ZX07113001)

作者简介:郑小兰(1992~),女,硕士研究生,主要研究方向为湖泊水环境化学,E-mail:zxlan7182@163.com

<sup>\*</sup> 通信作者,E-mail:jczhong@ niglas. ac. cn

氧化亚氮( $N_2O$ )是大气中 3 种重要的温室气体之一,贡献了大气中长存的温室气体约 6% 的辐射压力,在臭氧层破坏和全球变暖方面起着非常重要的作用 $^{[1]}$ . 大量研究表明,受人类影响较大的内陆水生态系统因受到不断增加的氮负荷约有 0.68  $Tg \cdot a^{-1}$ 转化为 $N_2O$ ,更使其成为 $N_2O$ 排放的热点 $^{[2]}$ ,因此处于平原地区对经济发展起重要作用的富营养化浅水湖泊排放 $N_2O$ 已不可忽略,湖泊已成为大气中 $N_2O$ 的主要的自然释放源之一.

湖泊中N。O生成与排放的空间异质性给准确地 估算湖泊N,O通量及评估湖泊N,O排放的重要性带 来了很大的不确定性. 迄今为止, 关于多生态类型 湖泊N。O生成与排放的空间异质性及其关键影响因 素的研究相对较少. 不同类型水生植物在水体生态 类型生态系统中的地位不同, 他们通过自身的特性 来影响、改变所处水体环境中的物理和化学条件, 从而影响内陆水体中的N,O生成与排放. Wang 等[3]对太湖梅梁湾藻型湖区N,O通量观测发现夏季 藻类暴发时期是N,O排放高峰期, Weathers 等[4]研 究证实水体中NO2-N浓度较高时,其水中的藻类是 N<sub>2</sub>O的重要来源,藻类细胞内含有的活性亚硝酸还 原酶在黑暗条件下促进亚硝酸还原为N,O,从而使 N2O积累, 此外有研究指出处于生长阶段的藻类体 内硝酸盐活性高时N<sub>2</sub>O产生速率较大<sup>[5]</sup>. Wang 等[6]发现太湖富营养化程度最严重的五里湖水体 中N,0饱和度最大,而处于挺水植物生长期且污染 相对轻的南部湖区N2O饱和度最低,从北部藻型湖 区过渡到南部草型湖区N,O饱和度呈逐渐降低的趋 势. 另外, 大型的水生植物对N,O生成与排放也会 产生重要的影响,有研究表明有芦苇生长的水体释 放N,O是无芦苇生长的 14 倍<sup>[7]</sup>, 这主要取决于根 部生物量. 一般大型水生植物如芦苇可以将水体中 的有机碎屑甚至空气中可利用气体(O2及N2O)输 送到植物根部,供给植物生长,即草型湖区N,O水 体通量呈现出负值,即水体成为N,O的"汇"[8].可 见关于大型水生植物对于N2O生成与排放的影响及 其机制较为复杂,尚需要更多的研究来证实其在 N<sub>2</sub>O生成与排放中的作用.

当前关于环境因子对于 $N_2$ O生成与排放研究主要集中在温度、pH、含碳和氮的各种营养物质等,研究表明反硝化过程及 $N_2$ O产生的速率的限制因子包括可利用的 $NO_3^-$ -N浓度[9],温度,氧化还原电位[10](限制硝化作用及 $NO_3^-$ -N的供给),以及 $S^2$ -浓

度,此外沉积物中有机碳含量对反硝化过程存在极大的促进作用[11],从而影响水体中N<sub>2</sub>O生成与排放. 沉积物-水界面是水环境中的一个重要生化反应界面,是水相与沉积物之间的结合转换区,也是各种物理或生化指标梯度的峰值区,是生物地球化学循环和生物系统之间耦合的重要场所,当前关于N<sub>2</sub>O生成与排放的研究主要集中在N<sub>2</sub>O在水柱中的溶解度及水-气界面的通量,而关于沉积物-水界面N<sub>2</sub>O生成与排放的研究相对较少. 在不同的生态系统类型湖区沉积物类型不同,水柱及沉积物中氮形态及其含量,及水柱中DO、pH、Eh、浊度差异显著[12,13],这些因素势必会影响到水柱和沉积物中氮的迁移转化过程,从而影响N<sub>2</sub>O的生成、消耗和迁移,最终影响N<sub>2</sub>O的排放通量.

夏季水体浮游藻类暴发期是水体N<sub>2</sub>O释放高峰期,为了探究夏季太湖多生态类型湖区N<sub>2</sub>O生成与排放的差异,本研究拟以太湖典型藻型湖区及草型湖区为研究对象,通过夏季野外原位定点观测实验来研究草、藻型湖区氧化亚氮排放的空间差异,同时开展室内微环境实验,来分析及辨识影响草、藻湖区N<sub>2</sub>O生成与排放的关键影响因子,以了解多生态类型湖泊氧化亚氮的生成与排放空间异质性及其内在机制,以期为我国湖泊N<sub>2</sub>O通量估算及全球评估湖泊N<sub>2</sub>O排放的重要性提供数据支持,且对我国富营养化湖泊减排措施的制定具有重要的现实意义.

### 1 材料与方法

### 1.1 采样点概述

太湖,位于中国北亚热带季风气候区域的富营养化浅水湖泊,水域面积2 338 km²,平均水深 1.9 m. 年平均气温 14.9~16.2℃,水域内植物生长季从 3~9 月. 太湖属于典型的多生态类型湖泊,根据生境差异可将其分为不同的湖区:北部以贡湖湾、梅梁湾为代表的"藻型湖区"及以胥口湾、东太湖为代表的"草型湖区"及中间过渡区.本研究选取太湖典型的草型湖区胥口湾及富营养化严重的藻型湖区梅梁湾(31°31′43.02″N,120°12′32.92″E)为研究对象,其中胥口湾草型湖区又分为沉水植物区(胥口湾1:31°08′51.35″N,120°25′31.63″E,优势种为狐尾藻、马来眼子菜等)及挺水植物区(胥口湾2:31°06′54.28″N,120°25′31.64″E,优势种为芦苇).梅梁湾"藻型湖区"富营养化程度相对比较严重,也是蓝藻水华暴发最严重的区域、底部沉积有较多的

淤泥,除岸边外几乎无水生植物生长,在温度较高的季节藻类较多,水柱叶绿素含量高<sup>[14]</sup>,草型湖区水生植被以挺水植物及沉水植物为主,沉积物为含较多有机碎屑的软泥,夏季时水草生长茂盛,而挺水植物区有大量芦苇生长.

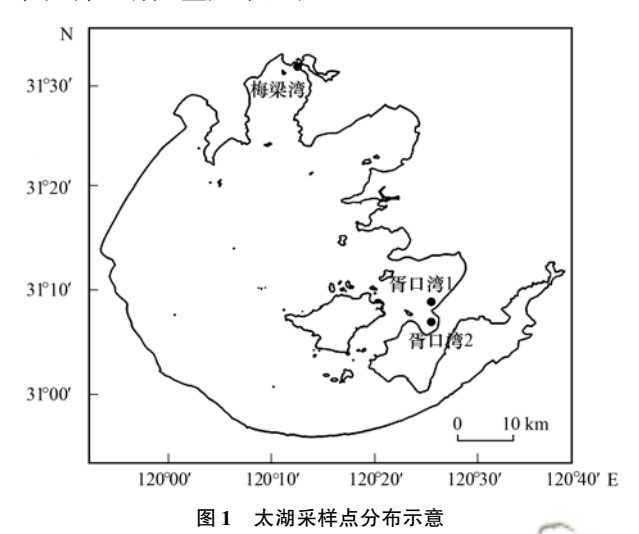


Fig. 1 Distribution of sampling sites in Lake Taihu

### 1.2 样品采集及前处理

于2017年6~8月中旬在梅梁湾及胥口湾进行 现场观察及样品采集. 水-气界面N,O通量的采样采 用漂浮通量箱法. 漂浮通量箱用直径 20 cm 的 PVC 管制成(高度为 100 cm), 其中一断开口, 一端用 PVC 材料制作的盖子密封, 盖子下方通量箱内部装 有风扇, 采样时可使箱内气体混合均匀. 盖子上方 留有3个小孔,其中一个起平衡气压的作用,采样 时封闭,一个孔安装温度计监测箱体内温度,另外 一个孔安装 PU 采样管(外径 6 mm, 内径 3 mm). 通量箱外距离密封端 30 cm 处安装一个圆周挡板, 用来固定漂浮轮胎. 每次采样前, 提起箱体, 使箱 体内与周围空气混合均匀后, 然后垂直放入水柱 中, 用橡胶塞塞紧平衡气压孔. 漂浮通量箱约70 cm 位于水柱中,约30 cm 长度位于水气界面上,形 成一个采样顶空. 用连接三通阀的医用注射器采集 00:00 时的气体样品保存于预先抽成真空的 20 mL 玻璃瓶内,采集样品前先抽取一次气体弃掉,以消 除采样管死体积带来的误差, 此后每隔 20 min 采样 一次,每小时采集4次[15],每个位点3组重复,并 同步记录箱体内温度, 样品采集后尽快运回实验室 分析.

气体样品采集时同步采集水样,水柱中N<sub>2</sub>O溶存浓度采用顶空-气相色谱技术进行分析,用虹吸法采集水样于20 mL血清瓶中,加入甲醛溶液0.2

mL以抑制微生物活性,水样溢出瓶口,塞紧瓶塞.为避免气泡产生,在用橡胶瓶塞封口时,在橡胶塞上插入注射器针头,使多余水样从注射器中流出.水样中溶存气体浓度采用静态顶空法测定,先用注射器将约10 mL的高纯氮气注射进20 mL血清瓶中,置换出等体积的水,室温下剧烈振荡1 min后静置隔夜,使目标气体在玻璃瓶的液相和气相中达到动态平衡,并尽快进行色谱分析. 野外采样时用500 mL聚乙烯塑料瓶采集0.5 m以下表层水样,冷藏运回实验室用于水质常规指标测定. 此外,用多参数水质仪(YSI, Yellow Springs)记录环境参数,现场测定表层水水温、DO、pH值、盐度等.

沉积物样品的采集采用柱状采样器,在每个研究点采集3个沉积物柱样并无扰动带回实验室.在进行沉积物-水界面N<sub>2</sub>O扩散通量估算时,首先用虹吸法采集沉积物柱中沉积物-水界面处的水样,然后切取表层2 cm 沉积物经离心后,取上清液于顶空瓶中,由表层间隙水及上覆水中N<sub>2</sub>O浓度差值计算水-土界面N<sub>2</sub>O通量,并与2017年7月采集沉积物表层2 cm 处泥样进行环境因子对沉积物氧化亚氮生成的条件实验.

### 1.3 环境因子对N,O生成影响的微环境实验

根据本课题组在太湖的前期研究基础,本文 主要探讨无机氮浓度、碳源及温度这些主要的环 境因子对N,O生成的影响,基于太湖水质常年的 基本理化性质实际情况,环境因子及其梯度设置 如表1所示. 环境因子对N,O生成影响的微环境 实验采用泥浆法,在已有研究的方法上进行改 进[16],具体步骤如下:称约3g混合均匀的表层沉 积物样于50 mL 血清瓶中,每个处理3组重复, 加入 10 mL 用原位湖水配置的培养水, 然后用高 纯氮气吹扫 30 s, 赶走顶空的氧气来维持厌氧环 境[17], 氮气吹扫后立即塞进橡皮塞确保不漏气. 初始样品在培养开始后立即采集 20 mL 顶空样 品,然后将其他培养瓶放入摇床中振荡(70 r·min<sup>-1</sup>, 原位温度) 避光培养 4 h. 4 h 后用 20 mL 3 mol·L-1 NaCl溶液置换同体积顶空气体[18]. 在 采集0时刻与培养4h后的气体样品时,剧烈地 晃动血清瓶以使顶空气体达到平衡. 采集到的气 体样品尽快进行气相色谱分析.

#### 1.4 样品分析方法

气体样品中的N<sub>2</sub>O浓度采用配有十通阀反吹装置和 电 子 捕 获 器 (ECD) 的 气 相 色 谱 仪 (Agliet7890B)测定.条件:柱温 55℃、后检测器

(5)

(ECD)温度 300℃,载气为高纯氮气,流速为 30 mL·min<sup>-1</sup>, 燃气为氢气, 流速为 45 mL·min<sup>-1</sup>. 进 样时用带有三通阀的注射器吸取 5 mL 气样注入进 样口分析, 所采气体样品可直接测定, 记录N,O的 摩尔分数值(×10<sup>-6</sup>).

表 1 环境因子及各实验处理

Table 1 Environmental factors and test treatments

环境因子	梯度1	梯度2	梯度3	梯度4
NH <sub>4</sub> -N/mg·L -1	0	1	5	10
$NO_3^-$ -N/mg·L $^{-1}$	0	1	5	10
有机碳/mg·L <sup>-1</sup>	0	20	50	100
温度/℃	10	20	30	

水样经 0.45 µm 碳酸纤维滤头过滤用于 NO, -N、NO, -N、NH, -N测定. 水样中无机氮浓度 采用流动注射分析仪测定(Skalar Sanplus, 荷兰); 原水样中 TN 和 TP 采用过硫酸钾消解法测定.

### 1.5 通量计算

### 1.5.1 水-气通量的计算方法

N,O的释放通量是指在单位时间内单位面积上 温室气体浓度的变化量,正值表示N,O气体从水体 向大气中排放,即"源";负值表示水体吸收N,0气 体,即"汇". N<sub>2</sub>O通量采用下式计算:

$$F_{\rm g} = 1\,000 \cdot \rho \, \frac{V}{A} \, \frac{{\rm d}G}{{\rm d}t} \, \frac{T}{T + 273.15}$$
 (1)

式中, F<sub>g</sub> 为水-气通量[μmol·(m²·h)<sup>-1</sup>]; ρ 为N<sub>2</sub>O 密度 $(g \cdot L^{-1})$ ; V 为通量箱体积 $(m^3)$ ; A 为通量箱 口面积 $(m^2)$ ; dG/dt 为通量箱内N,O气体浓度随时 间变化的斜率: T 为通量箱内温度( $\mathbb{C}$ ).

### 1.5.2 水体浓度计算方法

(1)顶空气体浓度的计算 将顶空气体视为理 想气体, 顶空气体组分浓度由 Dalton 分压定律 计算:

$$P_{\rm G} = n_{\rm G} \cdot \frac{T}{V_{\rm T}} = c_{\rm G} \cdot R \cdot T \tag{2}$$

$$c_{\rm G} = \frac{P_{\rm G}}{R \cdot T} = f_{\rm G} \frac{P}{R \cdot T} \tag{3}$$

式中,  $P_c$  为体系内某气体组分的分压值(Pa);  $n_c$ 为该气体组分的物质的量; R 为理想气体常数 [8.31 J·(mol·K)<sup>-1</sup>]; T表示体系的热力学温度 (K);  $V_r$  为气体总体积(L);  $c_c$  为最终要求得的该 气体组分的浓度( $\mu mol \cdot L^{-1}$ );  $f_c$  为该气体组分的 物质的摩尔分数,气相色谱测定得到( $\times 10^{-6}$ ); P 为体系内气压值(Pa).

(2)培养体系内水体浓度计算 假设水样瓶中

顶空气体与水体达到溶解平衡, 瓶内水体溶存气体 的浓度根据改善后的 Weiss 气体溶解度公式计 算[19], 顶空内总压强是 101.3 kPa, 则水体溶存 N,O浓度可由下式计算:

$$c = f_G \cdot F$$

$$\ln F = A_1 + A_2 \left(\frac{100}{T}\right) + A_3 \ln\left(\frac{T}{100}\right) + A_4 \left(\frac{T}{100}\right)^2 + S\left[B_1 + B_2\left(\frac{T}{100}\right) + B_3\left(\frac{T}{100}\right)^2\right]$$
(5)

式中, c 为N, O水体溶存气体浓度[ $\mu mol \cdot L^{-1}$ ],  $f_c$ 为N,O的物质的摩尔分数,气相色谱测定得到(×  $10^{-6}$ ); F 为换算系数,相当于溶解度系数[ $1 \times 10^{-3}$ mol·(L·kPa)<sup>-1</sup>]; T是热力学温度(K); S 为水体 盐度(‰); A<sub>1</sub> (-165.8810)、A<sub>2</sub> (222.8743)、A<sub>3</sub> (92.0920),  $A_4$  (-1.4842),  $B_1$  (-0.0562),  $B_2$ (0.0316)、B3 (-0.0048)是常数.

(3)培养体系内气体累积浓度计算 的气体包括水体溶存的及顶空内的N,O,换算为培 养水中累计浓度  $c_G$  为( $\mu mol \cdot L^{-1}$ ):

$$c_{\rm G} = \frac{e_{\rm H} \cdot V_{\rm H} + c_{\rm W} \cdot V_{\rm W}}{V_{\rm W}} \tag{6}$$

式中,  $c_{\rm H}$  和  $c_{\rm W}$  分别为顶空和培养水内 $N_2$ O浓度(  $\mu$ mol·L<sup>-1</sup>),  $V_{\rm H}$  和  $V_{\rm W}$  分别为顶空和水体体积(L).

### **1.5.3** 水-土通量计算方法<sup>[20]</sup>

$$F_{\rm S} = \phi \cdot D_{\rm S} \cdot \frac{\mathrm{d}c}{\mathrm{d}s} \tag{7}$$

$$D_{\rm S} = \frac{D_{\rm W}}{\theta^2} \tag{8}$$

$$\theta^2 = 1 - \ln(\phi^2) \tag{9}$$

式中,  $F_s$  为泥水通量[ $\mu \text{mol} \cdot (\text{m}^2 \cdot \text{h})^{-1}$ ];  $\phi$  为沉积物 孔隙度;  $D_s$  为沉积物总扩散系数(cm<sup>2</sup>·s<sup>-1</sup>); dc/ds 浓 度梯度( $\mu \text{mol·m}^{-4}$ ), ds 表示沉积物深度变化量;  $D_{\text{w}}$ 为N,O水体扩散系数( $cm^2 \cdot s^{-1}$ );  $\theta$  为弯曲度.

### 1.5.4 微环境实验中沉积物生成N,O速率计算

根据 1.5.2 节中的方法即可求得体系内氧化亚 氮产生量,再根据培养瓶体积、培养时间以及所用 沉积物质量换算出3个湖区沉积物氧化亚氮产生 速率.

$$P_{s} = \frac{1000 \cdot M \cdot (c_{T} - c_{0}) \cdot V}{m \cdot t}$$
 (10)

式中,  $P_s$  为沉积物 $N_2$ O生成潜力[ $ng \cdot (g \cdot h)^{-1}$ ];  $c_T$ 为水体累计生成 $N_2$ O浓度( $\mu mol \cdot L^{-1}$ );  $c_0$  为水体 初始N<sub>2</sub>O浓度(μmol·L<sup>-1</sup>); V 为培养水体积(L); m 为沉积物干重(g); t 为培养时间(h); M 为 $N_2O$ 

的分子量(g·mol<sup>-1</sup>).

### 1.6 数据处理与分析

采用 Excel 2010 和 SPSS 20.0 进行数据分析, 并用 Origin 8.0 软件作图. 方差分析用以分析不同 湖区N<sub>2</sub>O溶存、迁移及释放差异;线性相关分析用 以确定影响水-气界面N<sub>2</sub>O通量的环境因子;方差分 析加多重比较用以分析微环境条件实验中不同处理 之间沉积物N<sub>2</sub>O生成潜力差异.

### 2 结果与分析

### 2.1 夏季水柱理化性质

夏季7月、8月较6月水温有明显的升高(表2),最高水温出现在7月(分别为32、32.3 和

31.7℃); 夏季水柱溶氧(DO)含量相对较低,3个湖区呈现一致的波动趋势,其中8月DO含量最低;总体上来说,藻型湖区(采样点位于梅梁湾)有着最高的总氮、总磷及无机氮含量,沉水植物区采样点位于草型湖区胥口湾,水质相对较好,有着最低的营养盐负荷,挺水植物采样点虽然也位于草型湖区胥口湾,但由于采样点位于湖滨带,水柱营养盐负荷高于处于敞水区的沉水植物区,尤其是8月总氮及硝态氮等指标.

### **2.2** $N_2$ O水-气界面通量、水柱溶存浓度及水-土界面通量

水-气界面N<sub>2</sub>O通量存在明显的时空差异. 从时间上看, 藻型湖区和挺水植物湖区水-气界面N<sub>2</sub>O通

表 2 夏季各湖区上覆水理化性质

Table 2	Dlarrainal	and.	ahamiaal	properties of	of the	virat on	~ ~ 1		la aaman	1:	aitaa.	di.	~
rabie 2	rnysicai	and	chemicai	properties c	и ше	water	corumn	ш	ne samu	21111	snes	aurme	summer

月份	点位	水温	DO	TP	TN	$NO_3^-$ -N	$NO_2^-$ -N	$NH_4^+$ -N
)1 D1	巡压	$^{\circ}\mathbb{C}$	/mg·L <sup>-1</sup>	/mg·L <sup>-1</sup>	/mg·L <sup>-1</sup>	/mg·L <sup>-1</sup>	$/\mathrm{mg} \cdot \mathrm{L}^{-1}$	/mg·L <sup>-1</sup>
	藻型湖区	25. 1	2.46	0. 049	3.013	1. 637	0. 023	1,161
6	挺水植物区	23.0	2. 85	0.015	2. 924	1. 135	0.017	0. 323
	沉水植物区	23.9	3.88	0. 001	2. 721	0. 819	0.004	0.330
	藻型湖区	32.0	3.68	0. 210	2.913	0. 594	0.013	0. 986
7	挺水植物区	32. 3	3. 35	0. 048	0. 638	0.384	0.009	0. 181
_	沉水植物区	31.7	4. 02	0. 028	0. 729	0. 465	0.008	0. 202
	藻型湖区	30. 9	1.56	0. 195	2. 339	0.628	0. 018	0. 469
8	挺水植物区	30.6	1.95	0. 051	2. 436	1. 559	0.024	0. 133
	沉水植物区	30.5	1. 43	0.008	1.049	0. 392	0.004	0. 143

量均表现为7、8月有着较高的通量,6月水-气界 面N,O通量较低,从空间上看,藻型湖区及挺水植 物区有着较高的N,O通量,位于胥口湾敞水区的沉 水植物采样点N,O通量相对较低,且在夏季3个月 中水-气界面N<sub>2</sub>O通量波动不大, 保持在 1.762~ 4.015 μmol·(m<sup>2</sup>·h)<sup>-1</sup>左右. 水柱中溶存N<sub>2</sub>O浓度 与水-气界面N,O通量变化趋势基本一致,表现为8 月最高,6月与7月相当;从空间上来说,挺水植物 区与藻型湖区水柱中有着较高的N2O溶存浓度. 水-土界面N,O通量的时空变化特征于水-气界面通量及 水柱中溶存浓度并不完全一致,相似的地方为挺水 植物区水-土界面N2O通量最大, 其次是藻型湖区和 沉水植物区; 而在时间上, 7月水-土界面有着最大的 N<sub>2</sub>O通量, 6月与8月水-土界面N<sub>2</sub>O通量相当. 图 2 (c)中水-土界面N2O通量由沉积物间隙水及沉积物 表层水体N2O浓度计算得出,以7月为例,藻型湖区 沉积物间隙水中N, O浓度(0.027 μmol·L-1)高于沉 积物-水界面处水柱(0.025 μmol·L<sup>-1</sup>), 且高于表层 水浓度 $(0.016 \, \mu \text{mol} \cdot \text{L}^{-1})$ , 挺水植物区及沉水植物

区亦有此规律, 因此说明N<sub>2</sub>O在沉积物中产生, 并在向上迁移过程中逐渐降低.

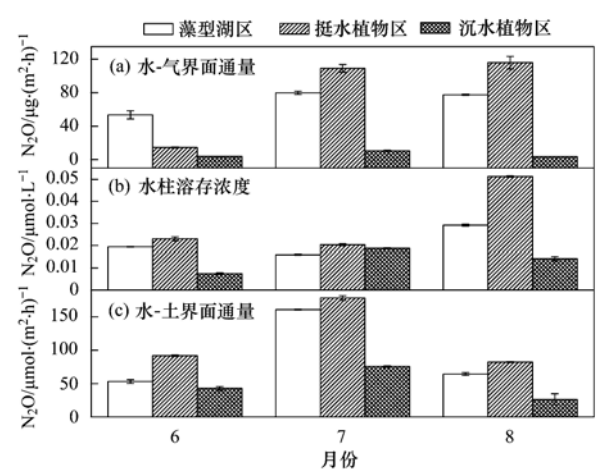


图 2 各湖区 $N_2$  O水-气界面通量、水柱溶存浓度及水-土界面通量 Fig. 2  $N_2$  O fluxes at the water-gas interface, dissolved  $N_2$  O concentrations, and the sediment-water interface in each lake

### 2.3 环境因子对沉积物N,O生成的影响

### 2.3.1 NO, -N添加实验

单因素方差分析表明培养水中添加NO, -N对藻

型湖区、挺水植物及沉水植物湖区沉积物生成 $N_2$ O的影响均是显著的[P < 0.05,图 3(a)].藻型湖区、挺水植物湖区及沉水植物湖区中对照组沉积物 $N_2$ O生成均值分别为( $1.719 \pm 0.269$ )、( $1.551 \pm 0.976$ )和( $1.778 \pm 1.088$ ) ng·(g·h)<sup>-1</sup>,与 $NO_3^-$ -N添加组存在显著的组间差异.并且藻型湖区 $NO_3^-$ -N添加浓度超过 5 mg·L<sup>-1</sup>显著高于添加 $NO_3^-$ -N浓度为 1 mg·L<sup>-1</sup>的处理组和对照组,添加 $NO_3^-$ -N浓度为 10 mg·L<sup>-1</sup>时,沉积物生成 $N_3$ O潜力降低,添加 $NO_3^-$ -N

使沉积物 $N_2$ O释放比原位采回的沉积物 $N_2$ O释放提高近 15 倍,最大释放速率达 25. 503 ng·(g·h) <sup>-1</sup>; 挺水植物湖区及沉水植物湖区随添加 $NO_3^-$ -N浓度增加,沉积物生成 $N_2$ O潜力均增加,分别可提高 18 和 24 倍,最大值分别为 27. 957 ng·(g·h) <sup>-1</sup> 和 42. 555 ng·(g·h) <sup>-1</sup>,沉水植物湖区添加  $NO_3^-$ -N 为 10 mg·L <sup>-1</sup>时,沉积物生成 $N_2$ O能力显著高于前 3 组,因此 $NO_3^-$ -N对沉水植物湖区沉积物 $N_2$ O生成影响更大.

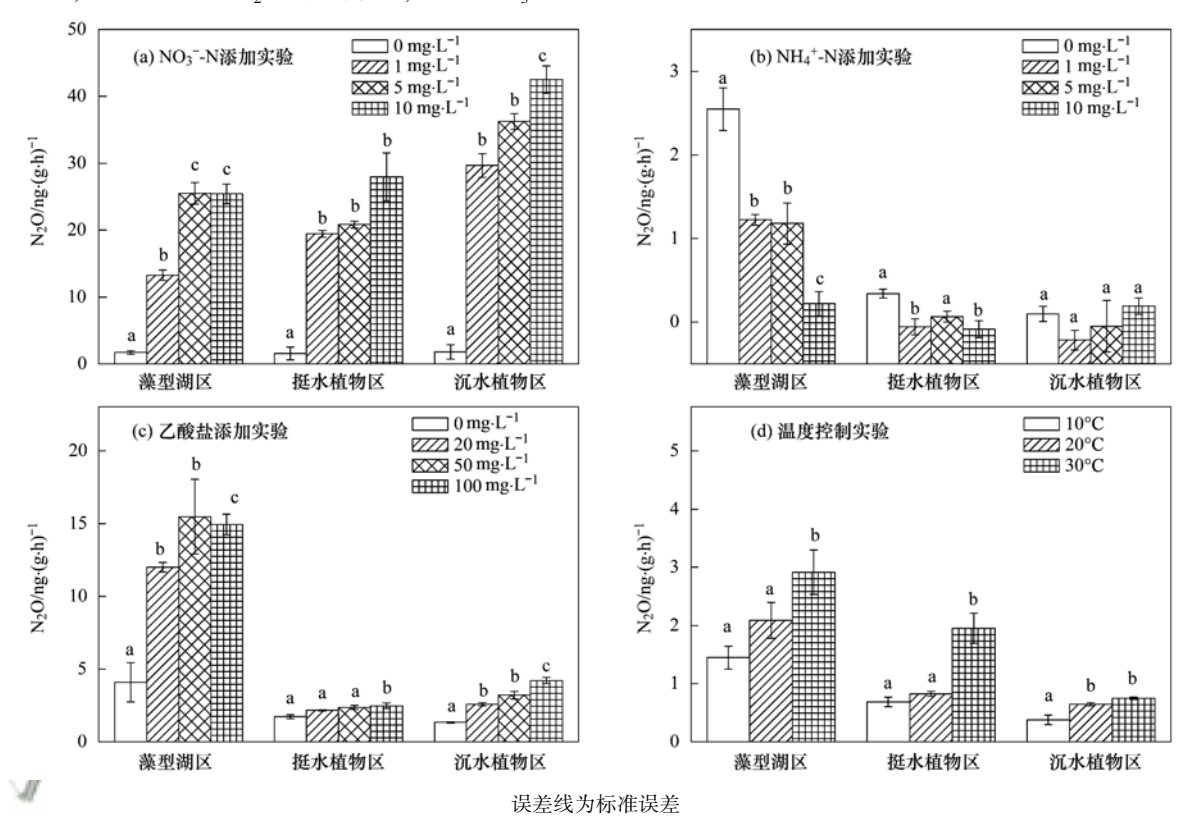


图 3 环境因子对沉积物N<sub>2</sub> O生成的影响

Fig. 3 Effects of environmental factors on N2O formation in sediments

### 2.3.2 NH<sub>4</sub> -N添加实验

培养水中添加 $NH_4^+$ -N对藻型湖区、挺水植物湖区影响是显著的(P < 0.05),对沉水植物湖区的影响不显著[P = 0.364,图 3(b)].添加 $NH_4^+$ -N对沉积物 $N_2$ O产生存在抑制作用,尤其在藻型湖区及挺水植物湖区,对照组沉积物生成 $N_2$ O速率显著高于添加 $NH_4^+$ -N实验组,且随添加 $NH_4^+$ -N浓度增高,抑制作用越强.挺水植物及沉水植物湖区随添加 $NH_4^+$ -N浓度升高,沉积物生成 $N_2$ O存在不同现象,说明了不同生境条件下沉积物 $N_2$ O生成的空间异质性.

### 2.3.3 乙酸盐添加实验

添加乙酸盐作为碳源时能增加沉积物中N。O生

成速率,且对藻型湖区影响最显著[图 3(c)]. 挺水植物湖区添加乙酸浓度  $100 \text{ mg·L}^{-1}$ 时沉积物 $N_2O$ 生成速率为  $2.475 \text{ ng·(g·h)}^{-1}$ ,显著高于其他 3组,沉水植物湖区组间差异显示对照组沉积物 $N_2O$ 释放显著低于  $20 \text{ mg·L}^{-1}$ 和  $50 \text{ mg·L}^{-1}$ ,添加  $100 \text{ mg·L}^{-1}$ 时显著高于前 3组.

#### 2.3.4 温度控制实验

单因素方差分析显示藻型湖区、挺水植物及沉水植物湖区温度升高能促进沉积物N<sub>2</sub>O,且随着温度升高,沉积物释放N<sub>2</sub>O能力越强,其中藻型湖区及挺水植物湖区培养温度为30℃时沉积物N<sub>2</sub>O释放显著高于20℃及10℃,沉水植物区培养温度20℃及30℃均能显著增加沉积物N<sub>2</sub>O生成.

### 3.1 湖泊原位N<sub>2</sub>O水-气界面通量及其影响因子

单因素方差显示除NH<sub>4</sub><sup>+</sup>-N(P=0.017)和TP(P=0.04),其他营养物质在3个湖区之间无显著性差别.自春季温度回升以后,水柱经沉积物再悬浮作用使水体中营养物质含量升高,一方面补给动植物及微生物活动,另一方面,春季之后水生植物开始生长,藻型湖区TN、NO<sub>3</sub><sup>-</sup>-N、NO<sub>2</sub><sup>-</sup>-N和NH<sub>4</sub><sup>+</sup>-N随温度升高而降低,因为温度升高微生物活动增强,对水体中含氮营养物质利用加快,藻类覆盖在水表层,不断利用DO,造成水柱间歇性地处于缺氧环境,为水柱及沉积物中反硝化细菌提供了有利的缺氧环境,相应地水柱N<sub>2</sub>O生成与释放从6~8月呈显著增加. 挺水植物湖区及沉水植物湖区水柱

TN、NO $_3^-$ -N、NO $_2^-$ -N和NH $_4^+$ -N在水体中含量从6~8月变化趋势一致,即6月最高,其次是8月和7月,与藻型湖区含氮物质含量变化过程存在差异,可能与其水域生长的植物差异及所处环境有关.水体中含氮营养盐作为N $_2$ O微生物活动的底物,可直接影响沉积物中N $_2$ O生成.相关性分析显示水-气界面N $_2$ O生成与水体中 NO $_2^-$ -N浓度存在极显著正相关关系,与NO $_3^-$ -N存在显著相关关系(表3).夏季沉积物中微生物活动较为强烈,氮循环过程尤其是反硝化过程加速,促进沉积物N $_2$ O产生,并扩散进入水体中,水柱溶存N $_2$ O浓度与水-气界面N $_2$ O通量存在极显著正相关关系.水-土界面N $_2$ O通量与水柱N $_2$ O溶存浓度相关性不明显,且与水-气界面N $_2$ O通量存在负相关关系,说明N $_2$ O在沉积物中产生向上扩散过程中发生了复杂的变化.

表 3  $N_2$  O水-气通量与 $N_2$  O溶存浓度、水-土界面通量及环境因子的 Pearson 相关性 $^{1)}$ 

Table 3	Pearson	correlation	analysis	between	$N_2O$	fluxes a	t the	water-gas	interface	and	environmental	factors	i,
-1/2 H	1. /1/	NH 1.52		List					-		310 31	31.0	_

									5,227	/
	水气通量	水体浓度	泥水通量	水温	DO	TP	TN	NO <sub>3</sub> -N	$NO_2^-$ -N	NH <sub>4</sub> <sup>+</sup> -N
水气通量	1	0. 879 **	-0.198	0.064	- 0. 593	0. 254	0.351	0. 680 *	0. 821 **	0.017
水体浓度		1	0.045	0. 21	-0.516	0. 151	0. 145	0. 534	0. 737 *	-0.246
泥水通量		`	1/8	0. 385	0.476	0.419	-0.074	-0. 198	0. 093	0. 153
水温	/	li .	11/	(Y) (Y)	-0.084	0. 468	-0.617	-0.544	-0.137	-0. 202
DO /	100	),	10	r/16/1	1	-0.1	-0.064	-0.241	-0.393	0. 103
TP 🦠 📗	211	7	11	CON	2	1	0. 295	-0.171	0. 298	0. 496
TN	61		71	180 1		/	/ JE \ `	0. 675 *	0. 566	0. 618
$NO_3^-$ -N	(1)		1 1/	11011	0	1	81/	1 )	0. 815 **	0. 353
NO <sub>2</sub> -N	Ne		1 4	1 / 1	/ \		800	7.1	1	0. 408
NH <sub>4</sub> -N	1/01	P	1	(1)	10			10		1

1) \*表示在 0.05 水平(双侧)上显著相关, \*\*表示在 0.01 水平(双侧)上显著相关

影响水-气界面N,O释放的因素包括气温、水温 及 DO 等间接影响微生物活动的物理因素以及生成 过程所需的营养物质如碳氮营养盐等, 此外也与所 处水域生长的水生植物有极大关系. 反硝化作用是 水体N,O的重要来源过程,因此影响反硝化细菌的 各种环境因素,均会直接或间接地影响水体中N,O 生成与释放. 藻华的暴发常伴随着蓝藻在湖体中的 自然沉降, 在厌氧条件下, 除了底泥营养盐的释 放,藻类残体的分解也可以产生大量颗粒态、溶解 态和胶体态的氮及有机碳. 黎丽雯等[21]的研究表 明蓝藻细胞能够为底泥中的反硝化过程提供可利用 碳源, 并且能促进水体中 N 的去除, 因此藻华暴发 严重的7月和8月藻型湖区水体中N,0生成与释放 明显高于6月.为满足自身生长需要,水生植物都 具有发达的通气组织, 通气组织不仅能够输送 O, 进入水体,增加水体 DO 含量,改变周围的微环境, 还可以将水体内生成的气体输送至大气中. 有研究 发现水生植物的气体交换速度随温度升高而升高, 如 Armstrong 等<sup>[22]</sup>发现芦苇枝的气体在 24℃时的交 换速度明显高于17℃的. 沉水植物湖区水-气界面 N,O释放无明显升高,甚至在8月有降低现象,一 方面因为沉水植物湖区水生植物生长吸收造成水柱 中NO, -N浓度较低(表2), N,O产生所需底物有限, 另一方面, 沉水植物湖区采样点水位较深, 生长的 沉水植物如菹草、马来眼子菜等阻碍了光的穿透, 植物光合作用减弱,水体 DO 含量低N2O生成偏低, 且水-气界面N,O排放与吸收几近平衡. 图 3(d)中 沉水植物湖区水-气界面N,O通量随温度升高呈现 升高的趋势,但与水-土界面N,O通量比值维持在较 低的水平, 明显低于藻型湖区及挺水植物湖区, 说 明沉水植物的生长对于N2O向大气中扩散过程中明 显与挺水植物存在差异, Windham 等[23]的实验得

出芦苇根系渗出物可促进反硝化过程中N<sub>2</sub>O的生成. 挺水植物湖区N<sub>2</sub>O水柱溶存浓度及水-气通量随7、8 月温度升高时明显升高,且高于沉水植物湖区,这与该区域生长的水生植物类型不同相关,古小治等<sup>[7]</sup>对种植芦苇水体中N<sub>2</sub>O浓度观测中也得出,有芦苇生长的水体中N<sub>2</sub>O浓度是无芦苇生长的14 倍.

### 3.2 环境因子对沉积物N,O生成的影响

### 3. 2. 1 NO<sub>3</sub> -N

实验显示 3个研究区添加 $NO_3^-$ -N培养组比对照组具有更高的 $N_2$ O生成潜力,这表明夏季沉积物 $N_2$ O生成均受到水柱 $NO_3^-$ -N浓度的限制,这与夏季上覆水水柱中比较低的 $NO_3^-$ -N浓度有关。 $N_2$ O在水体中的累积速率不仅与生成速率有关,而且与反硝化过程中 $N_2$ O还原为氮气的速率有关。上覆水层中 $NO_3^-$ -N浓度增高会抑制 $N_2$ O还原酶活性, $N_2$ O还原受阻,于是有更多的 $N_2$ O积累并释放进入上覆水中 $[^{24}]$ 。Herrman 等 $[^{25}]$  指出, $NO_3^-$ -N浓度 达 5 mg·L $^-$ 1时为反硝化过程所需的饱和状态,当其超过该数值时,反硝化作用明显减弱。沉水植物相对于挺水植物和藻型湖区水-气界面 $N_2$ O释放速率以及水体溶存浓度均较小 $[图\ 2\ (b)]$ ,而对于添加 $NO_3^-$ -N有更高的 $N_2$ O生成速率,说明沉水植物湖区沉积物 $N_2$ O生成受到硝酸盐浓度的限制更为明显。

### 3. 2. 2 NH<sub>4</sub><sup>+</sup>-N

添加 NH<sub>4</sub> -N 能够促进 N<sub>2</sub>O 的生成,一方面 NH, -N浓度的增加可以为硝化细菌提供底物,产生 更多的NO; -N, 刺激反硝化细菌生成N2O; 另一方 面NH<sub>4</sub> -N被氧化过程中, 消耗体系内 O<sub>2</sub>, 造成体系 内的缺氧环境,在这种环境下氨氧化的同时, $NO_2^-$ -N 被还原从而产生N,O. 但本研究中NH₄ -N添加组 中随NH4+N浓度增加, 沉积物N,O生成速率明显降 低,尤其在藻型湖区表层沉积物,这与 Zhao 等[26] 研究结果存在差异, 这表明夏季太湖 3 个研究点 N, O生成均不受NH<sub>4</sub> -N浓度限制. 对于藻型湖区, 水柱中有着相对较高的NH, -N浓度(表2), 且藻类 腐败后分布在沉积物表层,隔离了 0,的传输,此 时的沉积物主要表现为厌氧的性质, 主导的氮循环 过程是反硝化过程而非硝化过程, 生成的N2O又被 还原为 N<sub>2</sub>, 因此藻型湖区沉积物生成N<sub>2</sub>O浓度逐渐 降低. 而对于草型湖区, 尽管水柱中NH, -N浓度比 较低(表2),但是夏季沉积物中通常含有较高的 NH<sub>4</sub><sup>+</sup>-N浓度,足以满足硝化过程对于NH<sub>4</sub><sup>+</sup>-N底物的

需求.

### 3.2.3 碳源(乙酸盐)

Royer 等 $^{[27]}$ 的研究表明外加碳源包括葡萄糖、蔗糖及乙酸盐能显著提高沉积物 $N_2$ O生成,因为外加碳源能提供能量源刺激反硝化细菌活性,此外高浓度的有机碳引起更强烈的微生物降解活动及缺氧环境,从而刺激反硝化作用. 本实验中添加乙酸盐浓度为体系内反硝化细菌提供了碳源,使得 $N_2$ O产生显著增加,表明夏季 3 个研究点 $N_2$ O生成受碳源限制. 但在藻型湖区乙酸浓度超过 50 mg· $L^{-1}$ 时(C/N超过 20:1), $N_2$ O产生出现降低的趋势,而在挺水植物及沉水植物湖区均不出现这种趋势,因为沉积物采自 7 月,藻型湖区水体中 TN 含量 2.913 mg· $L^{-1}$ ,挺水植物及沉水植物湖区水体 TN 含量分别为 0.638 mg· $L^{-1}$ 和 0.729 mg· $L^{-1}$ ,低于 20:1的 C/N,因此水体 C/N 是控制沉积物 $N_2$ O产生的关键因子 $^{[28]}$ .

### 3.2.4 温度

温度对反硝化或沉积物N,O生成的影响的研究 结论不尽相同. Andersen 等[29]对 Danish 湖研究发 现温度对沉积物N,O产生无显著作用,也有研究表 明温度能显著提高沉积物反硝化速率, 从而提高沉 积物N2O生成[18]. 本实验中随温度升高,3个研究 点沉积物中N,O生成均呈增加趋势,低温降低了细 菌对NO, -N的亲和性[30], 随温度升高能, 沉积物中 微生物活性增加, 硝化与反硝化速率及N,O的生 成、迁移与转化都会随之改变. 通常大于5℃的温 度条件适宜微生物发生反硝化作用. Schulthess 等[31]的研究发现温度与反硝化呈正比,温度会影 响反硝化微生物的活性. Ryden 等[32]的研究表明在 相同的土壤含水量和硝酸盐含量条件下,土壤温度 从5℃增加到10℃,土壤反硝化速率从0.02 kg·(hm²·d) -1增加到 0.11 kg·(hm²·d) -1. 此外水 温变化也会通过影响微生物活性和N,O气体在水体 的溶解度, 间接影响到N,O的迁移. 水温升高能够 激发微生物活性,降低N,O气体在水体中的溶解 度,从而促进N2O的排放[33],这也就表明在夏季水 温较高时,并且水体营养盐含量较高时是N,O生成 与排放的高峰期.

### 4 结论

(1)夏季藻型湖区、挺水植物湖区及沉水植物湖区水-气界面N,O通量、水体溶存N,O浓度以及泥

水界面N<sub>2</sub>O通量存在空间差异.水-气界面N<sub>2</sub>O通量6月藻型湖区>挺水植物湖区>沉水植物湖区,7月和8月,温度升高时,挺水植物>藻型湖区>沉水植物湖区;水体溶存及水-土界面N<sub>2</sub>O通量:N<sub>2</sub>O浓度挺水植物湖区>藻型湖区>沉水植物湖区;空间差异产生的主要原因可归结为所处水域生长的植物不同以及水体中无机氮浓度的差异.

(2)外加硝酸盐及有机碳源可以显著增加沉积物N<sub>2</sub>O生成潜力,而上覆水中高浓度 NH<sub>4</sub><sup>+</sup>-N 会抑制沉积物N<sub>2</sub>O释放,随温度升高,沉积物N<sub>2</sub>O生成潜力明显增加,这说明夏季N<sub>2</sub>O生成主要受硝酸盐及有机碳源的限制,尽管夏季是高温季节,温度浮动也会影响N<sub>2</sub>O的生成与排放.

### 参考文献:

- [ 1 ] Ussiri D, Lal R. The role of fertilizer management in mitigating nitrous oxide emissions [A]. In: Ussiri D, Lal R (Eds.). Soil Emission of Nitrous Oxide and Its Mitigation [M]. Netherlands: Springer, 2013. 315-346.
- [2] 王佳宁,晏维金,陈能汪,等. 我国河流 N<sub>2</sub>O 饱和度与释放系数变化及其与河流氮水平的关系研究[J]. 农业环境科学学报,2012,31(8):1576-1585.

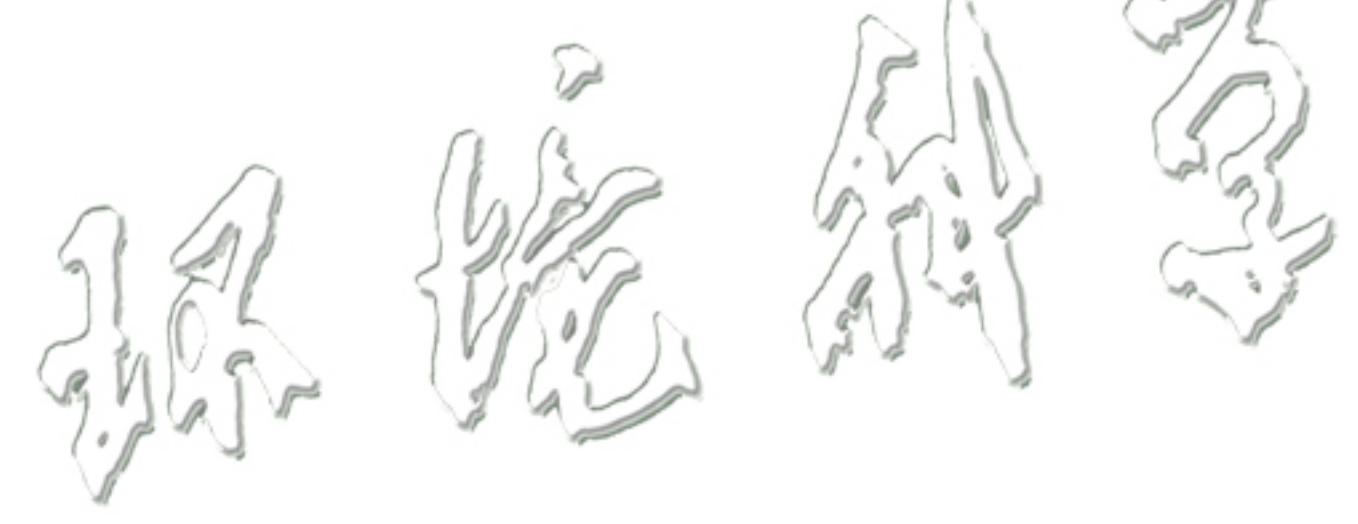
  Wang J N, Yan W J, Chen N W, et al. Variations of river N<sub>2</sub>O saturations and emission factors in relation to nitrogen levels in China[J]. Journal of Agro-Environment Science, 2012, 31(8): 1576-1585.
- [ 3 ] Wang H J, Yang L Y, Wang W D, et al. Nitrous oxide (N<sub>2</sub>O) fluxes and their relationships with water-sediment characteristics in a hyper-eutrophic shallow lake, China [ J ]. Journal of Geophysical Research: Biogeosciences, 2007, 112 ( G1 ): G01005.
- [4] Weathers P J. N<sub>2</sub>O evolution by green algae [J]. Applied and Environmental Microbiology, 1984, 48(6): 1251-1253.
- [5] Guieysse B, Plouviez M, Coilhac M, et al. Nitrous Oxide (N<sub>2</sub>O) production in axenic Chlorella vulgaris microalgae cultures: evidence, putative pathways, and potential environmental impacts [J]. Biogeosciences, 2013, 10 (10): 6737-6746.
- [6] Wang S L, Liu C Q, Yeager K M, et al. The spatial distribution and emission of nitrous oxide (N<sub>2</sub>O) in a large eutrophic lake in eastern China: anthropogenic effects [J]. Science of the Total Environment, 2009, 407(10): 3330-3337.
- [7] Gu X Z, Chen K N, Fan C X. Preliminary evidence of effects of Phragmites australis growth on N2O emissions by laboratory microcosms[J]. Ecological Engineering, 2015, 83: 33-38.
- [8] Li L F, Li Y H, Biswas D K, et al. Potential of constructed wetlands in treating the eutrophic water: evidence from Taihu Lake of China [J]. Bioresource Technology, 2008, 99 (6): 1656-1663.
- [ 9 ] McCrackin M L, Elser J J. Denitrification kinetics and denitrifier abundances in sediments of lakes receiving atmospheric nitrogen deposition (Colorado, USA) [ J ]. Biogeochemistry, 2012, 108 (1-3): 39-54.
- [10] Liikanen A, Murtoniemi T, Tanskanen H, et al. Effects of

- temperature and oxygenavailability on greenhouse gas and nutrient dynamics in sediment of a eutrophic mid-boreal lake [J]. Biogeochemistry, 2002, **59**(3); 269-286.
- [11] Fork M L, Heffernan J B. Direct and indirect effects of dissolved organic matter source and concentration on denitrification in northern Florida rivers [J]. Ecosystems, 2014, 17 (1): 14-28.
- [12] 张路, 范成新, 王建军, 等. 太湖草藻型湖区间隙水理化特性比较[J]. 中国环境科学, 2004, **24**(5): 556-560.

  Zhang L, Fan C X, Wang J J, *et al.* Comparison of physico chemical characters of pore water in grass/algae type zone in Lake Taihu[J]. China Environmental Science, 2004, **24**(5): 556-560.
- [13] 王永平, 朱广伟, 洪大林, 等. 太湖草、藻型湖区沉积物-水界面厚度及环境效应研究[J]. 中国环境科学, 2013, **33** (1): 132-137. Wang Y P, Zhu G W, Hong D L, *et al.* Study on the thickness
  - wang Y P, Zhu G W, Hong D L, et al. Study on the thickness and environmental effects of sediment-water interface of phytoplankton and macrophyte dominated zones in Lake Taihu [J]. China Environmental Science, 2013, 33(1): 132-137.
- [14] 秦伯强,罗潋葱. 太湖生态环境演化及其原因分析[J]. 第四纪研究, 2004, **24**(5): 561-568. Qin B Q, Luo L C. Changes in eco-environment and causes for Lake Taihu, China[J]. Quaternary Sciences, **2004**, **24**(5): 561-568.
- [16] Zhao Y Q, Xia Y Q, Li B L, et al. Influence of environmental factors on net N<sub>2</sub> and N<sub>2</sub>O production in sediment of freshwater rivers [J]. Environmental Science and Pollution Research, 2014, 21(16): 9973-9982.
- [17] Christensen J P, Smethie Jr W M, Devol A H. Benthic nutrient regeneration and denitrification on the Washington continental shelf[J]. Deep Sea Research Part A. Oceanographic Research Papers, 1987, 34(5-6): 1027-1047.
- [18] 钟继承,刘国锋,范成新,等. 湖泊底泥疏浚环境效应:Ⅲ. 对沉积物反硝化作用的影响[J]. 湖泊科学,2009,21(4): 465-473. Zhong J C, Liu G F, Fan C X, et al. Environmental effect of
  - sediment dredging in lake: III. Influence of dredging on denitrification in sediments[J]. Journal of Lake Sciences, 2009, 21(4): 465-473.
- [19] Weiss R F, Price B A. Nitrous oxide solubility in water and seawater[J]. Marine Chemistry, 1980, 8(4): 347-359.
- [20] Zhong J C, You B S, Fan C X, et al. Influence of sediment dredging on chemical forms and release of phosphorus [J]. Pedosphere, 2008, 18(1): 34-44.
- [21] 黎丽雯,潘纲,李梁,等. 蓝藻对太湖底泥反硝化过程的影响和机理分析[J]. 湖泊科学, 2013, **25**(5): 628-634. Li L W, Pan G, Li L, *et al.* Effect and mechanism of algae bloom on the denitrification processes in the sediments of Lake Taihu[J]. Journal of Lake Sciences, 2013, **25**(5): 628-634
- [22] Armstrong J, Armstrong W. A convective through-flow of gases in

- Phragmites australis, (Cav.) Trin. ex Steud [J]. Aquatic Botany, 1991, 39(1-2): 75-88.
- [23] Windham L, Lathrop R G. Effects of *Phragmites australis* (common reed) invasion on aboveground biomass and soil properties in brackish tidal marsh of the Mullica river, New Jersey[J]. Estuaries, 1999, 22(4): 927-935.
- [24] Beaulieu J J, Tank J L, Hamilton S K, et al. Nitrous oxide emission from denitrification in stream and river networks [J]. Proceedings of the National Academy of Sciences of the United States of America, 2011, 108(1): 214-219.
- [25] Herrman K S, Bouchard V, Moore R H. Factors affecting denitrification in agricultural headwater streams in Northeast Ohio, USA[J]. Hydrobiologia, 2008, 598(1): 305-314.
- [26] Zhao Y Q, Xia Y Q, Kana T M, et al. Seasonal variation and controlling factors of anaerobic ammonium oxidation in freshwater river sediments in the Taihu Lake region of China [ J ]. Chemosphere, 2013, 93(9): 2124-2131.
- [27] Royer T V, Tank J L, David M B. Transport and fate of nitrate in headwater agricultural streams in Illinois [J]. Journal of Environmental Quality, 2004, 33(4): 1296-1304.
- [28] Weymann D, Geistlinger H, Well R, et al. Kinetics of N2O

- production and reduction in a nitrate-contaminated aquifer inferred from laboratory incubation experiments [ J ]. Biogeosciences, 2010, 7(6): 1953-1972.
- [29] Andersen J M. Rates of denitrification of undisturbed sediment from six lakes as a function of nitrate concentration, oxygen and temperature[J]. Archiv für Hyhrobiologie, 1977, 80(2): 147-159.
- [30] Reay D S, Nedwell D B, Priddle J, et al. Temperature dependence of inorganic nitrogen uptake: reduced affinity for nitrate at suboptimal temperatures in both algae and bacteria[J]. Applied and Environmental Microbiology, 1999, 65(6): 2577-2584.
- [31] Schulthess R V, Kühni M, Gujer W. Release of nitric and nitrous oxides from denitrifying activated sludge [J]. Water Research, 1995, 29(1): 215-226.
- [32] Ryden J C. Denitrification loss from a grassland soil in the field receiving different rates of nitrogen as ammonium nitrate [J]. Journal of Soil Science, 1983, 34(2): 355-365.
- [33] Schrier-Uijl A P, Veraart A J, Leffelaar P A, et al. Release of CO<sub>2</sub> and CH<sub>4</sub> from lakes and drainage ditches in temperate wetlands[J]. Biogeochemistry, 2011, 102(1-3): 265-279.



### **HUANJING KEXUE**

Environmental Science (monthly)

Vol. 39 No. 5 May 15, 2018

### **CONTENTS**

Estimation of Fine Particle (PM <sub>2,5</sub> ) Emission Inventory from Cooking: Case Study for Shanghai	WANG Hong-li, JING Sheng-ao, LOU Sheng-rong, et al. (1971)
	GAO Ya-qin, WANG Hong-li, JING Sheng-ao, et al. (1978)
Seasonal Variation and Source Analysis of Water-soluble Inorganic Salts in PM <sub>2.5</sub> in the Southern Suburbs of Beijing	the Quadrat Sampling Method
Characteristics and Source Apportonine of water-sounce morganic tons in road base 1392, 3 butting opining in rhanjin comp	
HONO Pollution Characteristics and Nighttime Sources During Autumn in Guangzhou, China	······ TIAN Zhi-lin, YANG Wen-da, YU Xiao-fang, et al. (2000)
Sulfur Sources and Oxidation Pathways in Summer Aerosols from Nanjing Northern Suburbs Using S and O Isotopes	HAN Xun, REN Jie, CHEN Shan-li, et al. (2010)
Methods for Determining and Applications of High-Resolution Vehicle Emission Inventory at County Scale	FAN Shou-bin, GUO Jin-jin, LI Xue-feng (2015)
Characteristics of Polycyclic Aromatic Hydrocarbons Emitted from Typical Industrial Biomass Boilers	LIN Yu-jun, BAI Li, WANG Huan-xiang, et al. (2023)
Research of Parameter Uncertainty for the HSPF Model Under Different Temporal Scales	······ PANG Shu-jiang, WANG Xiao-yan, MA Wen-jing (2030)
Contribution of Nitrogen Sources in Water Sources by Combining Nitrogen and Oxygen Isotopes and SIAR	
Pollution Characteristics and Health Risk Assessment of Volatile Organic Compounds in Baiyangdian Lake	
Fluorescent Characteristics and Environmental Significance of Particulate Organic Matter in Lake Taihu, China	LÜ Wei-wei, YAO Xin, ZHANG Bao-hua, et al. (2056)
Distribution and Settlement of Microplastics in the Surface Sediment of Yangtze Estuary	
Water Chemistry and Characteristics of Dissolved Organic Carbon During the Wet Season in Wulixia Reservoir, SW China	
Bioavailability of Dissolved Organic Carbon in Rivers for Typical Vegetation Types in the Permafrost Regions on the Qinghai-T	ibet Plateau ·····
7 - 0 - 7	MA Xiao-liang, LIU Gui-min, WU Xiao-dong, et al. (2086)
Characteristics of Dissolved Organic Matter (DOM) and Relationship with Dissolved Heavy Metals in a Peri-urban and an Urban and Characteristics of Dissolved Organic Matter (DOM) and Relationship with Dissolved Heavy Metals in a Peri-urban and an Urban and Characteristics of Dissolved Organic Matter (DOM) and Relationship with Dissolved Heavy Metals in a Peri-urban and an Urban and Characteristics of Dissolved Organic Matter (DOM) and Relationship with Dissolved Heavy Metals in a Peri-urban and an Urban and Characteristics of Dissolved Organic Matter (DOM) and Relationship with Dissolved Heavy Metals in a Peri-urban and an Urban and Characteristics of Dissolved Organic Matter (DOM) and Relationship with Dissolved Heavy Metals in a Peri-urban and Characteristics of Dissolved Organic Matter (DOM) and Relationship with Dissolved Heavy Metals in a Peri-urban and Characteristics of Dissolved Organic Matter (DOM) and Relationship with Dissolved Heavy Metals in a Peri-urban and Characteristics of Dissolved Organic Matter (DOM) and Relationship with Dissolved Heavy Metals in a Peri-urban and Domina (DOM) and DOM (DO	oan River
Migration and Transformation of Dissolved Organic Matter in Karst Water Systems and an Analysis of Their Influencing Factors	
Source and Distribution of Dissolved Metal Ions in the Backwater Area of Pengxi River in Three Gorges Reservoir	D. ZHAU Xiao-song, YU Jian-jun, FU Li, et al. (2117)
Differences in Diffusive Fluxes of Nutrients from Sediment Between the Natural River Areas and Reservoirs in the Lancang River Areas and Reservoirs in the River Areas and Reservoir	ver Basin WANG V., CHENG D., VANG 71,
Nutrient Distribution Characteristics of the Sediment-water System in the Xiangxi River During the Impoundment of TGR	WANG Alle, CHENG Bao, TANG Zheng-jian, et al. (2120)
Effects of Submerged Macrophytes on Different Phosphorus Fractions in Overlying Water and Interstitial Water	SU Qing-qing, LiU De-iu, Ji Dao-bin, et al. (2135)
Distribution Characteristics and Fluxes of Nitrogen and Phosphorus at the Sediment-water Interface of Yuqiao Reservoir	WEN Shari long CONC Won ging WIL Too at al. (2154)
Distribution of Phoenbarus Fractions in Surface Sediments of Minitage Mainstreams	WEN Shuar-long, GOING Wan-qing, WO Tao, et al. (2154)
Distribution of Phosphorus Fractions in Surface Sediments of Minjiang Mainstreams  Nitrate Uptake Kinetics and Correlation Analysis in an Agricultural Drainage Ditch	II Ru-zhong VIN Oi-he CAO Su-di et al. (2174)
Influencing Factors for Phosphorus Removal by Modified Bio-ceramic Substrates Coated with ZnAl-LDHs Synthesized by Differ	ent Modification Conditions
influencing racios for risophoras removal by stouried bio confine canonical council with the risoback by billion	
Removal of Odorants in Drinking Water Using VUV/Persulfate	SIN Xin SHI Lu-xiao ZHANG Yi et al. (2195)
Degradation of OC with Peroxymonosulfate Activated by a MnFe O graphene Hybrid	
Mechanism of As(V) Removal from Water by Lanthanum and Cerium Modified Biochars	LI Jin, ZU Yan-gun, II Gang, et al. (2211)
Adsorption of Dissolved Organic Matter with Different Relative Molecular Masses on Inorganic Minerals and Its Influence on C	arbamazepine Adsorption Behavior
	IJANG Yu HE Jiang-tao ZHANG Si (2219)
Pollution Characteristics of Organophosphorus Flame Retardants in a Wastewater Treatment Plant  Enhanced Coagulation as a Pretreatment for Low Temperature Wastewater	SUN Jia-wei, DING Wei-nan, ZHANG Zhan-en, et al. (2230)
Enhanced Coagulation as a Pretreatment for Low Temperature Wastewater	LIU Hai-long, REN Yu-xia, ZHANG Zhong-min (2239)
Operating Characteristics and Fouling Characteristics of a RO Membrane System for Desalination of Dyeing Wastewater	······· TAN Yu-jun, ZHANG Ze-tian, WU Qian-yuan, et al. (2249)
Optimization of the Nitrogen Removal Performance on the CANON Process in a Biofilm Reactor: From FBBR to MBBR	FU Kun-ming, LI Hui, ZHOU Hou-tian, et al. (2256)
Microbial Community Dynamics During Two Sludge Granulation Processes	······ GAO Jing-feng, ZHANG Li-fang, ZHANG Shu-jun, et al. (2265)
Sludge Conditioning Performance of Polyaluminum, Polyferric, and Titanium Xerogel Coagulants	······ WANG Xiao-meng, WANG Xin, YANG Ming-hui, et al. (2274)
Effects of Heat and Heat-alkaline Treatments on Disintegration and Dissolved Organic Matter in Sludge	
Effect of Different Ratios of Anaerobic Time and Aeration Time on the Formation of Partial Nitrification Granules	LI Dong, GUO Yue-zhou, CAO Mei-zhong, et al. (2289)
Spatial and Temporal Variation of Mercury in Municipal Sewage Sludge in China	WANG Ning, LIU Qing-wei, ZHI Yin, et al. (2296)
$ \hbox{Characteristics of $N_2$O Release and Influencing Factors in Grass-type and Algae-type Zones of Taihu Lake During Summer } \cdots \\$	
Analysis of Greenhouse Gas Emission Characteristics and Their Influencing Factors in the Algae Zone of Lake Taihu	
Dynamics of CO <sub>2</sub> and N <sub>2</sub> O in Seasonal Frozen Soil Profiles for a Typical Steppe in Inner Mongolia	
Characteristics of CO <sub>2</sub> Flux in a Mature Apple (Malus demestica) Orchard Ecosystem on the Loess Plateau	
Effects of Biochar Application Rates on Greenhouse Gas Emissions in the Purple Paddy Soil	
Short-Term Effects of Different Fertilization Treatments on Greenhouse Gas Emissions from Northeast Black Soil	
Eukaryotic Micro-plankton Community Diversity and Characteristics of Regional Distribution in the Yellow Sea by ITS High-through	roughput Sequencing
The state of the s	ZHANG Li, LIN Jia-ning, ZHANG Yuan, et al. (2368)
Influence of Different Patterns of Discharge on Microbial Diffusion in Municipal Treated Wastewater	
Impact of Tourism on Bacterial Communities of Karst Underground River: A Case Study from Two Caves in Fengdu, Chongqir	
Diversity of the Microbial Community in Rice Paddy Soil with Biogas Slurry Irrigation Analyzed by Illumina Sequencing Techn	
Effect of Biochar Amendment on Physicochemical Properties and Fungal Community Structures of Cinnamon Soil	
Carbon Metabolism Characteristics of the Karst Soil Microbial Community for Pb-Zn Mine Tailings	
Denitrification Characteristics and Community Structure of Aerobic Denitrifiers from Lake and Reservoir Sediments	
Investigation of the Coupling Mechanism Between Naphthalene Degradation and Denitrification of a Naphthalene Degraded Bac	ZHANG Z WANG M: CHENG V : 1 (2429)
Spatial Distribution Study and Pollution Assessment of Pb in Soils in the Xijiang River Drainage of Guangxi  Effects of Agricultural Activities on Soil Mercury Changes in the Water-Level-Fluctuating Zone of the Three Gorges Reservoir	
Screening and Identification of Arsenic-resistant Endophytic Bacteria from Different Rice Tissues (Oryza sativa L.) in Different	
Screening and identification of Arsenic-resistant Endophytic Dacteria from Different Arce Tissues ( <i>Oryza sativa</i> L., ) in Different	
Characteristics of Mercury Transformation in Soil and Accumulation in Rice Plants in an Acidic Purple Paddy Soil Area	WANG DO-Aut, WANG Auc-uoug, DUAN Gui-iaii (2404)
Life Cycle Environmental Impact Assessment on Different Modes of Greenhouse Vegetable Production in the North China Plain	
Health Effects of PM <sub>2.5</sub> Based on Bacterial Toxicity Test and Transcriptional Analysis in Lungs of Mice	
2000 of 102, 5 Danes on Davieria Toricity 10st and Transcriptional Analysis in Lings of mice	conversing energy no one-ye, whit rung-ne, a are (2407)
Socio-economic Factors Influencing the Spatial Distribution of PM2.5 Concentrations in China; An Exploratory Analysis	DUAN Jie-xiong, ZHAI Wei-xin, CHENG Cheng-qi, et al. (2498)